

УДК 546.548

О.В. Харко, Л.О. Василечко

Національний університет “Львівська політехніка”,  
кафедра напівпровідникової електроніки

## АНОМАЛЬНЕ ТЕРМІЧНЕ РОЗШИРЕННЯ НОВИХ ЗМІШАНИХ КОБАЛЬТИТІВ-ФЕРИТІВ ПРАЗЕОДИМУ

© Харко О.В., Василечко Л.О., 2013

O.V. Kharko, L.O. Vasylechko

## ANOMALOUS THERMAL EXPANSION OF NEW MIXED PRASEODYMIUM COBALTITES-FERRITES

© Kharko O.V., Vasylechko L.O., 2013

Методами *in situ* високотемпературної порошкової дифракції високого розділення з використанням синхротронного випромінювання досліджено кристалічну структуру нових змішаних кобальтитів-феритів празеодиму  $\text{PrCo}_{1-x}\text{Fe}_x\text{O}_3$  в діапазоні температур 298–1173 К. Подібно до  $\text{PrCoO}_3$ , у всіх зразках твердого розчину  $\text{PrCo}_{1-x}\text{Fe}_x\text{O}_3$  виявлені аномалії термічного розширення, які, очевидно, пов'язані із переходами іонів  $\text{Co}^{3+}$  до вищих спінових станів. Встановлено вплив катіонного заміщення на структурні та термічні параметри системи  $\text{PrCoO}_3\text{--PrFeO}_3$ .

*Ключові слова:* змішані кобальтити-ферити, кристалічна структура, тверді розчини, термічне розширення, спінові переходи.

Crystal structure of new mixed praseodymium cobaltites-ferrites  $\text{PrCo}_{1-x}\text{Fe}_x\text{O}_3$  has been investigated in the temperature range of 298–1173 K by means of *in situ* high-resolution powder diffraction technique applying synchrotron radiation. Similar to  $\text{PrCoO}_3$ , all  $\text{PrCo}_{1-x}\text{Fe}_x\text{O}_3$  samples show anomalies in thermal expansion, which are evidently associated with partial transitions of  $\text{Co}^{3+}$  ions to the higher spin states. The influence of cation substitution on the structural and thermal parameters of the  $\text{PrCoO}_3\text{--PrFeO}_3$  system has been established.

*Key words:* mixed cobaltites-ferrites, crystal structure, solid solutions, thermal expansion, spin transitions.

### Вступ

Складні оксиди зі структурою перовського  $\text{RMO}_3$ , де  $R$  та  $M$  – рідкісноземельний (РЗЕ) та перехідний метал, відповідно, становлять важливий клас функціональних матеріалів, які широко використовуються завдяки їхнім механічним, оптичним, електричним, магнітним, а також каталітичним властивостям. Можливість застосування кобальтитів РЗЕ із структурою перовського реалізується завдяки їхній механічній стабільності, високій електропровідності, стійкості до окислювальних середовищ і високих температур. Вони використовуються як сенсорні матеріали [1–3], в термоелектричних приладах, твердотільних оксидних і прямих борогідридних паливних елементах як електродні матеріали [4–6], як мембрани для парціального окислення метану і очищення кисню, як каталізатори окислення  $\text{CO}$  і розкладу  $\text{NO}_x$ . Крім широкого практичного використання кобальтитів та феритів РЗЕ, підвищений інтерес до них зумовлений низкою унікальних фізичних властивостей. Зокрема для сполук  $\text{RCO}_3$  характерними є переходи метал-діелектрик та різного роду магнітні перетворення, які дуже залежать від спінового

стану іонів  $\text{Co}^{3+}$ , що може змінюватися від низькоспінового ( $t^6e^0$ ) до проміжного ( $t^5e^1$ ) та високоспінового ( $t^4e^2$ ) станів [7–14]. Впливати на спіновий стан іонів кобальту можна за допомогою температури або накладанням зовнішнього чи внутрішнього (хімічного) тиску, спричиненого частковим заміщенням  $R$ - та/або  $M$ -катионів у сполуках  $R\text{CoO}_3$ .

Аналіз літературних даних показує, що в подвійних системах  $R\text{CoO}_3$ – $R\text{FeO}_3$ , крім „чистих” сполук  $R\text{CoO}_3$  та  $R\text{FeO}_3$ , порівняно добре досліджені лише тверді розчини кобальтитів-феритів лантану  $\text{LaCo}_x\text{Fe}_{1-x}\text{O}_3$ , неодиму  $\text{NdFe}_{1-x}\text{Co}_x\text{O}_3$  та самарію  $\text{SmFe}_{1-x}\text{Co}_x\text{O}_3$ . Синтез та дослідження кристалічної структури змішаних кобальтитів-феритів празеодиму проведено в роботі [15]. Було показано, що в системі  $\text{PrCoO}_3$ – $\text{PrFeO}_3$  утворюється неперервний твердий розчин заміщення  $\text{PrCo}_{1-x}\text{Fe}_x\text{O}_3$  із ромбічно деформованою структурою перовськіту, особливістю якого є утворення розмірно тетрагональних та кубічних структур при  $0.3 < x < 0.5$ . Метою роботи є дослідження кристалічної структури твердого розчину  $\text{PrCo}_{1-x}\text{Fe}_x\text{O}_3$  в широкому діапазоні температур для з'ясування можливого впливу катіонного заміщення на спін-спінові та електронні фазові перетворення в цій системі.

### Методика експерименту

Високотемпературні дослідження кристалічних структур зразків  $\text{PrCo}_{1-x}\text{Fe}_x\text{O}_3$  ( $x = 0, 1; 0,2 \dots 0,8; 0,9$ ), одержаних твердофазним синтезом на повітрі при  $1300^\circ\text{C}$  [15], проводили методом *in situ* порошкової дифракції високого розділення з використанням синхротронного випромінювання в синхротронній лабораторії HASYLAB (м. Гамбург, Німеччина) в діапазоні температур  $298$ – $1173$  К. Відповідні експерименти здійснювали на порошковому дифрактометрі променевої лінії В2 [16] з використанням температурної приставки *STOE*. Стабілізація температури з точністю  $\pm 1$  К забезпечувалась за допомогою контролера *Eurotherm*. Зйомки виконували в геометрії Дебая-Шерера, використовуючи кварцові капіляри діаметром  $0,3$  мм. Всі експерименти проводили з використанням позиційно-чутливого *OBI*-детектора [17], що забезпечувало одержання дифрактограм в діапазоні кутів  $2\theta$   $3^\circ$ – $20^\circ$  із кроком  $0,004^\circ$ . Довжина хвилі  $\lambda = 0,53833$  Å визначалася за положеннями рефлексів Si стандарту NBS640b. Розрахунки параметрів елементарних комірок, координат атомів та теплових параметрів було здійснено повнопрофільним методом Рітвельда із застосуванням пакета програм WinCSD [18].

### Результати досліджень

*In situ* високотемпературні дослідження сполук  $\text{PrCoO}_3$  та  $\text{PrFeO}_3$ , а також зразків твердого розчину  $\text{PrCo}_{1-x}\text{Fe}_x\text{O}_3$  показали, що їх структура залишається ромбічною у дослідженому діапазоні температур  $298$ – $1173$  К. Жодних структурних фазових переходів не виявлено. Аналіз температурних залежностей параметрів і об'ємів елементарних комірок (рис. 1, а) показує, що в сполуці  $\text{PrCoO}_3$  в діапазоні температур  $500$ – $700$  К спостерігаються характерні аномалії, пов'язані із спіновими переходами іонів  $\text{Co}^{3+}$  при  $605$  К [19].

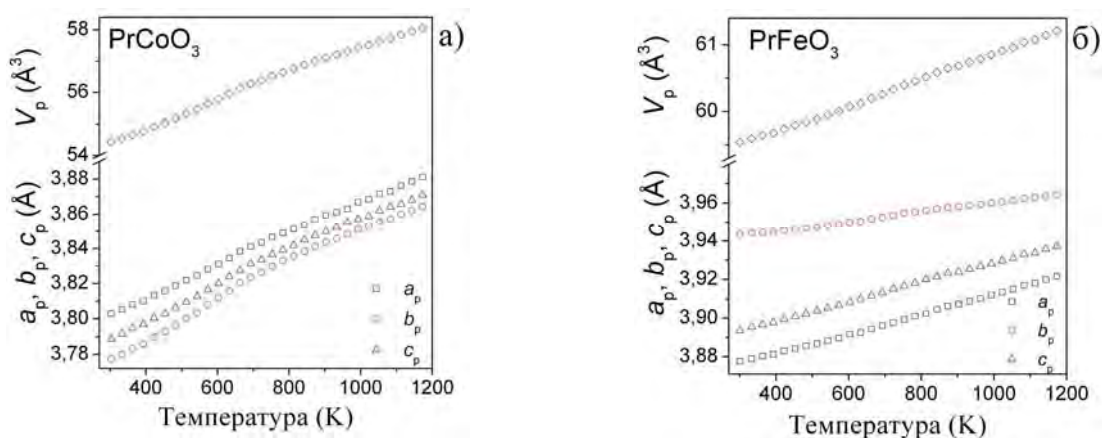


Рис. 1. Температурні залежності нормалізованих параметрів і об'ємів елементарних комірок  $\text{PrCoO}_3$  (а) та  $\text{PrFeO}_3$  (б). Параметри ромбічної елементарної комірки приведені до перовськітної псевдокомірки відповідно до співвідношень:  $a_p = a_o/\sqrt{2}$ ,  $b_p = b_o/\sqrt{2}$ ,  $c_p = c_o/2$ ,  $V_p = V_o/4$

Подібні залежності параметрів елементарної комірки  $\text{PrCoO}_3$  автори отримали [20] методом дифракції нейтронів. У випадку  $\text{PrFeO}_3$  (рис. 1, б) істотних відхилень від типових залежностей не спостерігається.

Для твердого розчину  $\text{PrCo}_{1-x}\text{Fe}_x\text{O}_3$  також притаманні аномалії термічного розширення, причому ці аномалії більше виражені у зразках із високим вмістом кобальту. Як приклад, на рис. 2 наведені температурні залежності параметрів та об'ємів елементарних комірок зразків  $\text{PrCo}_{0.3}\text{Fe}_{0.7}\text{O}_3$  та  $\text{PrCo}_{0.7}\text{Fe}_{0.3}\text{O}_3$ . Для зразка  $\text{PrCo}_{0.7}\text{Fe}_{0.3}\text{O}_3$  притаманна псевдо-тетрагональна ромбічна структура, яка при високих температурах стає псевдокубічною, про що свідчать практично однакові значення параметрів елементарної комірки  $a_p$ ,  $b_p$  та  $c_p$  при температурах, вищих за 800 К (рис. 2, б).

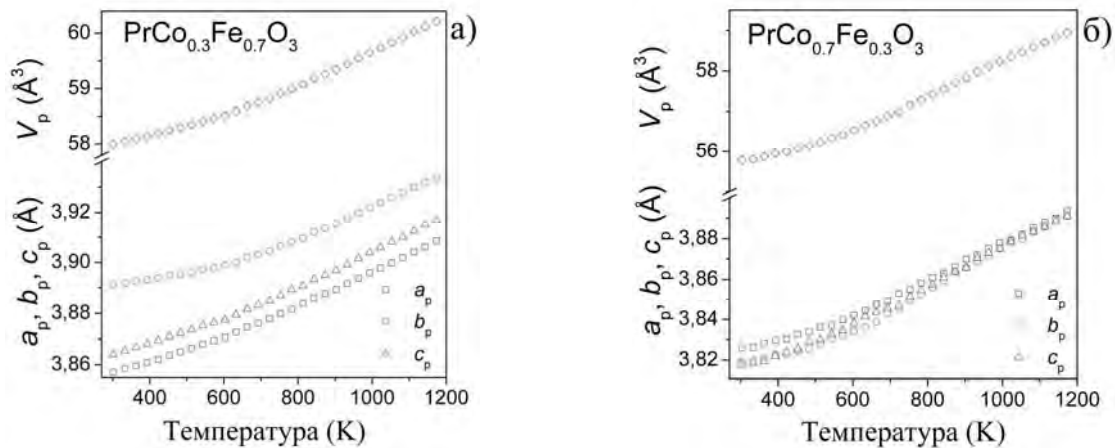


Рис. 2. Температурні залежності нормалізованих параметрів і об'ємів елементарних комірок для  $\text{PrCo}_{0.3}\text{Fe}_{0.7}\text{O}_3$  (а) та  $\text{PrCo}_{0.7}\text{Fe}_{0.3}\text{O}_3$  (б).

Порівняння температурних залежностей нормалізованих об'ємів елементарних комірок змішаних кобальтитів-феритів у системі  $\text{PrCoO}_3\text{--PrFeO}_3$  (рис. 3) показує, що у  $\text{PrCoO}_3$ , а також у всіх зразках твердого розчину  $\text{PrCo}_{1-x}\text{Fe}_x\text{O}_3$ , спостерігається додатковий приріст об'єму порівняно із „чистим”  $\text{PrFeO}_3$ . Такий приріст об'єму елементарної комірки, який систематично зростає із збільшенням вмісту кобальту в  $\text{PrCo}_{1-x}\text{Fe}_x\text{O}_3$  і є максимальним у випадку  $\text{PrCoO}_3$  (рис. 3), пояснюється збільшенням радіуса катіонів  $\text{Co}^{3+}$  в октаедричних позиціях внаслідок їх часткового переходу із низькоспінового стану ( $r_{\text{LS}}=0.545 \text{ \AA}$ ) до проміжного ( $r_{\text{IS}}=0.560 \text{ \AA}$ ) або високоспінового ( $r_{\text{HS}}=0.610 \text{ \AA}$ ) стану. У випадку  $\text{PrCoO}_3$  додатковий приріст об'єму починається відразу за температур, вищих за кімнатну і при 1173 К він становить  $\sim 3,8 \%$ . У разі зменшення вмісту кобальту в твердому розчині  $\text{PrCo}_{1-x}\text{Fe}_x\text{O}_3$  приріст об'єму елементарної комірки  $V_p$  зміщується в бік високих температур. Це свідчить про те, що збудження іонів  $\text{Co}^{3+}$  в змішаних кобальтитах-феритах празеодиму і їх частковий перехід у вищий спіновий стан починається при вищих температурах, порівняно із „чистим”  $\text{PrCoO}_3$ .

Враховуючи експериментальні значення параметрів елементарних комірок у діапазоні температур 298–1173 К, були розраховані коефіцієнти термічного розширення (КТР,  $\alpha$ ) для  $\text{PrCoO}_3$ ,  $\text{PrFeO}_3$  та усіх зразків твердого розчину

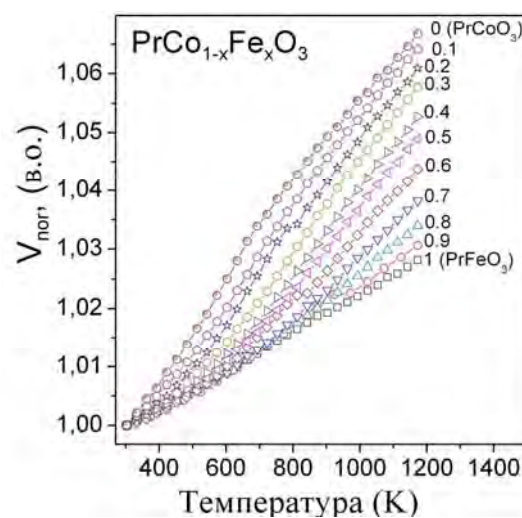


Рис. 3. Температурні залежності нормалізованих об'ємів елементарних комірок  $\text{PrCo}_{1-x}\text{Fe}_x\text{O}_3$  ( $x = 0; 0,1 \dots 0,9; 1$ ), приведені до відповідних значень за кімнатної температури

$\text{PrCo}_{1-x}\text{Fe}_x\text{O}_3$  в різних кристалографічних напрямках  $\alpha(a)$ ,  $\alpha(b)$ ,  $\alpha(c)$ . Як приклад, на рис. 4 наведені температурні залежності КТР для  $\text{PrCoO}_3$ ,  $\text{PrFeO}_3$ ,  $\text{PrCo}_{0.5}\text{Fe}_{0.5}\text{O}_3$  та  $\text{PrCo}_{0.3}\text{Fe}_{0.7}\text{O}_3$ .

Значення коефіцієнтів термічного розширення для „чистого” кобальтиту празеодиму  $\text{PrCoO}_3$  у різних кристалографічних напрямках є практично однаковими у всьому дослідженому температурному інтервалі. Всі вони спочатку зростають із збільшенням температури, а досягнувши максимуму при 605 К, починають зменшуватися, і при температурах, вищих за 850 К виходять на насичення (рис. 4, а). Така аномальна поведінка термічного розширення пояснюється спіновими фазовими переходами та переходами метал-діелектрик, які відбуваються у  $\text{PrCoO}_3$  за температури 256 та 605 К, відповідно [19]. У випадку фериту  $\text{PrFeO}_3$  (рис. 4, б) значення коефіцієнтів термічного розширення практично не змінюються із температурою, причому абсолютні значення КТР є значно меншими порівняно із  $\text{PrCoO}_3$ . Особливістю  $\text{PrFeO}_3$  є істотна анізотропія термічного розширення: значення КТР в напрямках  $a$  та  $c$  приблизно у два рази більші порівняно із напрямком  $b$  (рис. 4, б).

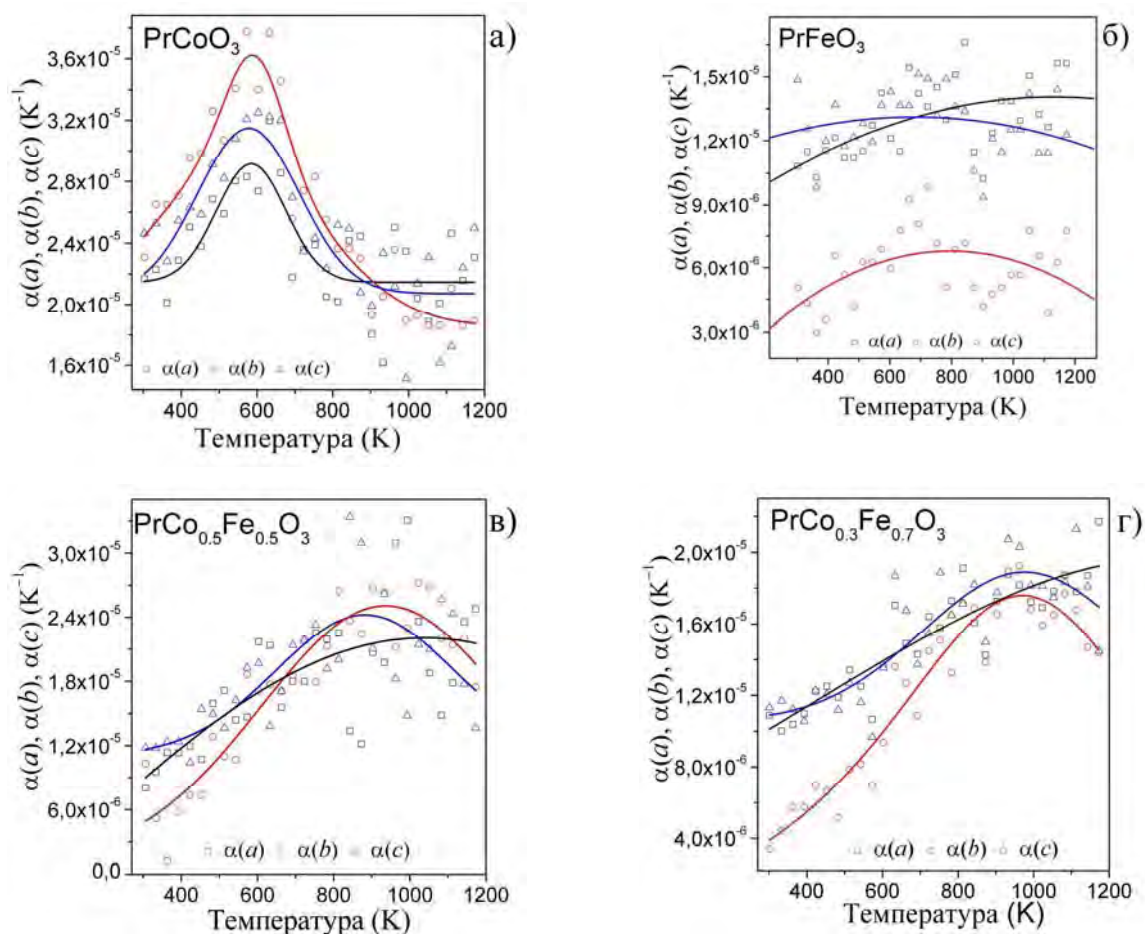


Рис. 4. Температурні залежності коефіцієнтів термічного розширення для „чистих” сполук  $\text{PrCoO}_3$  (а),  $\text{PrFeO}_3$  (б), а також змішаних кобальтитів-феритів  $\text{PrCo}_{0.5}\text{Fe}_{0.5}\text{O}_3$  (в) та  $\text{PrCo}_{0.3}\text{Fe}_{0.7}\text{O}_3$  (г)

Температурна поведінка твердого розчину  $\text{PrCo}_{1-x}\text{Fe}_x\text{O}_3$  залежить як від його складу, так і температури. Зазвичай, зразки із високим вмістом кобальту є більше подібними до  $\text{PrCoO}_3$ , тоді як збагачені залізом зразки більше нагадують  $\text{PrFeO}_3$ . Для прикладу, зразок змішаного кобальтиту-фериту  $\text{PrCo}_{0.5}\text{Fe}_{0.5}\text{O}_3$  (рис. 4, в) характеризується близькими значеннями коефіцієнтів термічного розширення у всіх трьох напрямках. Всі значення КТР зростають із підвищенням температури, однак, порівняно із  $\text{PrCoO}_3$ , відповідний максимум є значно менш вираженим, причому він зміщується до вищих температур. Термічна поведінка зразка  $\text{PrCo}_{0.3}\text{Fe}_{0.7}\text{O}_3$  при невисоких температурах (298–550 К) є



подібною до „чистого”  $\text{PrFeO}_3$ , оскільки значення КТР в напрямках  $a$  та  $c$  приблизно у два рази більші порівняно із напрямком  $b$  (рис. 4,  $z$ ). При підвищенні температури ступінь анізотропії термічного розширення зменшується, і починаючи із 750 К значення КТР у різних напрямках стають практично однаковими. Така поведінка є характерною для „чистого”  $\text{PrCoO}_3$ .

Температурні залежності середнього лінійного коефіцієнта термічного розширення для  $\text{PrCoO}_3$ ,  $\text{PrFeO}_3$  та деяких складів твердого розчину  $\text{PrCo}_{1-x}\text{Fe}_x\text{O}_3$  наведені на рис. 5. При низьких температурах термічна поведінка змішаних кобальтитів-феритів є близькою до фериту  $\text{PrFeO}_3$ . Проте, починаючи із  $\sim 400$  К спостерігається істотне зростання середніх лінійних КТР, і при високих температурах вони стають близькими до відповідних значень „чистого” кобальтиту  $\text{PrCoO}_3$  (рис. 5). Це можна пояснити частковим переходом іонів  $\text{Co}^{3+}$  у вищий спіновий стан, який у змішаних кобальтигах-феритах починається при вищих температурах, порівняно із  $\text{PrCoO}_3$ .

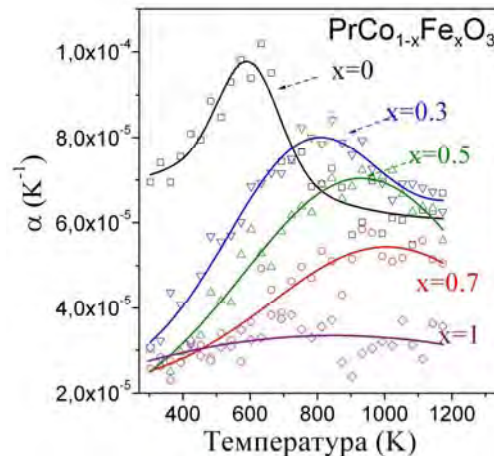


Рис. 5. Температурні залежності середніх лінійних коефіцієнтів термічного розширення для  $\text{PrCoO}_3$ ,  $\text{PrFeO}_3$ ,  $\text{PrCo}_{0.3}\text{Fe}_{0.7}\text{O}_3$ ,  $\text{PrCo}_{0.5}\text{Fe}_{0.5}\text{O}_3$  та  $\text{PrCo}_{0.7}\text{Fe}_{0.3}\text{O}_3$

### Висновки

Досліджено термічну поведінку кристалічної структури сполук  $\text{PrCoO}_3$  та  $\text{PrFeO}_3$ , а також нових змішаних кобальтитів-феритів празеодиму  $\text{PrCo}_{1-x}\text{Fe}_x\text{O}_3$  в діапазоні температур 298–1173 К. У всіх зразках, за винятком  $\text{PrFeO}_3$ , виявлені аномалії термічного розширення, які, зокрема, проявляються у максимумах на температурних залежностях КТР. Часткове заміщення іонів кобальту іонами заліза у твердому розчині  $\text{PrCo}_{1-x}\text{Fe}_x\text{O}_3$  веде до зменшення амплітуди максимумів КТР та їх зміщення в бік високих температур, що імовірно пов'язано із збільшенням температури спінових фазових переходів та переходів метал-діелектрик. З метою встановлення впливу катіонного заміщення на спінові та електронні фазові переходи у системі  $\text{PrCoO}_3$ - $\text{PrFeO}_3$  нами розпочаті дослідження електричних властивостей зразків твердого розчину  $\text{PrCo}_{1-x}\text{Fe}_x\text{O}_3$ . Про відповідні результати буде описано пізніше.

1. Fergus J.W. *Perovskite oxides for semiconductor-based gas sensors* // *Sens. Actuators*. - 2007. - Vol. 123. - P. 1169–1179.
2. Itagaki Y., Mori M., Hosoya Yu., Aono H., Sadaoka Y. *O<sub>3</sub> and NO<sub>2</sub> sensing properties of SmFe<sub>1-x</sub>Co<sub>x</sub>O<sub>3</sub> perovskite oxides* // *Sensors and Actuators*. - 2007. - Vol. 122. - P. 315–320.
3. Tealdi C., Islam M.S., Fisher C.A.J., Malavasi L., Flor G. *Defect and Transport Properties of the NdCoO<sub>3</sub> Catalyst and Sensor Material* // *Prog. Solid State Chem.* - 2007. - Vol. 35. - P.491–499.
4. Mawdsley J.R., Krause T.R. *Rare earth-first-row transition metal perovskites as catalysts for the autothermal reforming of hydrocarbon fuels to generate hydrogen* // *Applied Catalys.* - 2008. - Vol. 334. - P. 311–320.
5. Uhlenbruck S., Tietz F. *High Temperature Thermal expansion and Conductivity of Cobaltites: Potentials for Adoption of the Thermal Expansion to the Demands for SOFCs* // *Mater. Sci. Eng. B.* - 2004. - Vol. 107. - P. 277–282.
6. Skinner S.J. *Recent advances in perovskite-type materials for solid oxide fuel cell cathodes* // *Int. J. Inorg. Mater.* - 2001. - Vol. 3. - P. 113-121.
7. Berggold K., Kriener M., Becker P., Benomar M., Reuther M., Zobel C. and Lorenz T. *Anomalous expansion and phonon damping due to the Co spin-state transition in RCoO<sub>3</sub>, (R = La, Pr, Nd, and Eu)* // *Phys. Rev. B.* - 2008. - Vol. 78. - P.9.

8. Chang J.Y., Lin B.N., Hsu Y.Y., Ku H.C. Co K-edge XANES and spin-state transition of  $R\text{CoO}_3$  ( $R=\text{La}, \text{Eu}$ ) // *Phys. B. Condens. Matter.* - 2003. - Vol. 329 – 333. - P. 826–828.
9. Chang C.Y., Lin B.N., Ku H.C. Occurrence and variation of spin-state transitions in  $\text{La}_{1-x}\text{Eu}_x\text{CoO}_3$  cobaltates // *Chinese J. Phys.* - 2003. - Vol. 41. - P. 662–670.
10. Itoh M. and Hashimoto J. Spin state in perovskite cobalt oxides  $\text{La}_{1-x}\text{Nd}_x\text{CoO}_3$  // *Phys. C.* - 2000. - Vol. 341 – 348. - P.2141–2142.
11. Itoh M., Hashimoto J., Yamaguchi S., Tokura Y. Spin State and Metal-insulator Transition in  $\text{LaCoO}_3$  and  $\text{RCoO}_3$  ( $R = \text{Nd}, \text{Sm}$  and  $\text{Eu}$ ) // *Phys. B.* - 2000. - Vol. 281 – 282. – P.510–511.
12. Yan J.-Q., Zhou J.-S., and Goodenough J. B. Bond-length fluctuations and the spin-state transition in  $\text{LCoO}_3$ .  $\text{LaLa}, \text{Pr}$ , and  $\text{Nd}$  // *Phys. Rev. B.* – 2004. – Vol. 69.
13. Knizek K., Jirak Z., Hejtmanek J., Veverka M., Marysko M., Maris G., Palstra T.T.M. Structural anomalies associated with electronic and spin transitions in  $\text{LnCoO}_3$ . // *Eur. Phys. J. B.* – 2005. – Vol. 47. – P. 213–220.
14. Zobel C., Kriener M., Bruns D., Baier J., Gruninger M., and Lorenz T. Evidence for a low-spin to intermediate-spin state transition in  $\text{LaCoO}_3$  // *Phys. Rev. B.* – 2002. – Vol. 66. – P. 020402–4.
15. Харко О.В., Василечко Л.О. структурна поведінка твердих розчинів у системі  $\text{PrCoO}_3$ - $\text{PrFeO}_3$  /О.В. Харко, Л.О. Василечко // Вісник НУ "Львівська Політехніка". Електроніка. – 2012. – № 734. – С. 119–126.
16. Doyle S. E., Wroblewski T. New optics for beamline B2 and the powder diffractometer // *HASYLAB Jahresbericht.* – 1992. – P. 621.
17. Löchner U., Pennart P., Miche G., Fuess H. Synchrotron Powder Diffractometry at HASYLAB/DORIS Reviewed // *Z. Kristallogr.* – 1993. – Vol. 204. – P. 1–41.
18. Akselrud L.G., Grin Yu.N., Zavalii P.Yu., Pecharsky V.K. M. // *Nauka.* – 1989. – Vol. 3. – P. 155.
19. Knizek K, Jirak Z., Hejtmanek J., Veverka M., Marysko M., Maris G., and Palstra T.T.M. Structural anomalies associated with the electronic and spin transitions in  $\text{LnCoO}_3$  // *Eur. Phys.* – 2005. – Vol. 47. – P. 213–220.
20. Knizek K, Hejtmanek J., Jirak Z., Tomes P., Henry P, and André G. Neutron diffraction and heat capacity studies of  $\text{PrCoO}_3$  and  $\text{NdCoO}_3$  // *Phys. Rev.* – 2009. – Vol.79. – P. 134103-7.